

Федеральное государственное бюджетное образовательное учреждение  
высшего образования  
«Новосибирский государственный технический университет»

Кафедра прикладной математики

**ОТЧЕТ ПО НИР**

\_\_ Конечноэлементное моделирование напряжённо-деформированного состояния конструкций \_\_  
при механических и немеханических воздействиях \_\_  
(тема НИР в соответствии с индивидуальным планом)

Направление подготовки: 09.06.01 Информатика и вычислительная техника  
(профиль: "Математическое моделирование, численные методы и комплексы программ")

Выполнил:

Аспирант \_\_\_\_ Исламов Д. Р. \_\_\_\_  
(Ф.И.О.)

Год подготовки \_\_\_\_ 2 \_\_\_\_

Факультет ФПМИ

\_\_\_\_\_  
подпись

«\_\_» \_\_\_\_\_ 2019 г.

Проверил:

Научный руководитель \_\_\_\_ Персова М. Г. \_\_\_\_  
(Ф.И.О.)

Балл: \_\_\_\_\_, ECTS \_\_\_\_\_,

Оценка \_\_\_\_\_  
«отлично», «хорошо», «удовлетворительно», «неуд.»

\_\_\_\_\_  
подпись

«\_\_» \_\_\_\_\_ 2019 г.

Новосибирск 2019

## Оглавление

|  |    |
|--|----|
| 1. Постановка задачи .....                           | 3  |
| 2. Вычисление НДС .....                              | 8  |
| 3. Механический контакт с жёсткой поверхностью ..... | 17 |
| Заключение .....                                     | 21 |
| Список литературы .....                              | 22 |

## 1. Постановка задачи

Внутри тела, геометрия которого задана некоторой областью  $\Omega$ , выполняются дифференциальные уравнения движения в перемещениях

$$\sum_{j=1}^3 \frac{\partial \sigma_{ij}}{\partial x_j} = 0, i = \overline{1,3}. \quad (1.1)$$

На границе  $S = S_1 \cup S_2$  области  $\Omega$  выполняются кинематические и силовые краевые условия

$$\vec{u} \Big|_{S_1} = \vec{u}_0(t), \quad (1.2)$$

$$\sum_{j=1}^3 \sigma_{ij} n_j \Big|_{S_2} = P_i(t), i = \overline{1,3}, \quad (1.3)$$

где  $\vec{n}$  – внешняя нормаль к поверхности  $S_2$ ,  $\vec{P}(t)$  – вектор поверхностных сил,  $\vec{u}_0(t)$  – вектор перемещения.

Компоненты тензора напряжений Коши  $\sigma_{ij}$  выражаются через упругие компоненты  $\varepsilon_{kl}^e$  малых деформаций Коши обобщенным законом Гука

$$\sigma_{ij} = \sum_{l=1}^3 \sum_{k=1}^3 C_{ijkl} \varepsilon_{kl}^e, \quad (1.1)$$

где  $C_{ijkl}(T)$  – тензор модулей упругости материала,  $T$  – температура.

Исходя из закона Гука для изотропного тела [1, стр. 42], представленного в прямом и обратном виде

$$\begin{aligned}
\sigma_{ij} &= \lambda \delta_{ij} (\varepsilon_{11}^e + \varepsilon_{22}^e + \varepsilon_{33}^e) + \mu (\varepsilon_{ij}^e + \varepsilon_{ji}^e), \\
\sigma_{ij} &= \sum_{l=1}^3 \sum_{k=1}^3 C_{ijkl} \varepsilon_{kl}^e, \\
\varepsilon_{ij}^e &= \frac{1}{E} \left( \frac{1+\nu}{2} (\sigma_{ij} + \sigma_{ji}) - \nu \delta_{ij} (\sigma_{11} + \sigma_{22} + \sigma_{33}) \right), \\
\varepsilon_{ij}^e &= \sum_{l=1}^3 \sum_{k=1}^3 A_{ijkl} \sigma_{kl},
\end{aligned} \tag{1.2}$$

тензор модулей упругости  $C_{ijkl}$  и тензор упругой податливости  $A_{ijkl}$  (обратный к тензору  $C_{ijkl}$ ) определяются соотношениями

$$C_{ijkl} = \lambda \delta_{ij} \delta_{kl} + \mu (\delta_{ik} \delta_{jl} + \delta_{il} \delta_{jk}), \tag{1.3}$$

$$A_{ijkl} = \frac{1}{E} \left( \frac{1+\nu}{2} (\delta_{ik} \delta_{jl} + \delta_{il} \delta_{jk}) - \nu \delta_{ij} \delta_{kl} \right), \tag{1.4}$$

где  $\lambda(T), \mu(T)$  – коэффициенты упругости Ламэ,  $E(T)$  – модуль Гука,  $\nu(T)$  – коэффициент Пуассона.

Компоненты тензора малых деформаций Коши  $\varepsilon_{ij}$  выражаются через перемещения (*линейные* геометрические соотношения)

$$\varepsilon_{ij} = \frac{1}{2} \left( \frac{\partial u_i}{\partial x_j} + \frac{\partial u_j}{\partial x_i} \right) \tag{1.5}$$

и для термо-упруго-пластичного материала представимы в виде суммы упругих, пластических и температурных компонент:

$$\varepsilon_{ij} = \varepsilon_{ij}^e + \varepsilon_{ij}^p + \alpha T \delta_{ij}, \tag{1.6}$$

где  $\alpha T \delta_{ij}$  – деформации изотропного температурного расширения,  $\alpha(T)$  – коэффициент линейного изотропного теплового расширения,  $\varepsilon_{ij}^p$  – пластические деформации.

Из закона Гука (1.1) получим [2, стр. 126; 3, стр. 228]

$$\begin{aligned}
\varepsilon_{ij} &= \alpha T \delta_{ij} + \varepsilon_{ij}^p + \sum_{l=1}^3 \sum_{k=1}^3 A_{ijkl} \sigma_{kl}, \\
\Delta \varepsilon_{ij} &= \left( {}^{(t+\Delta t)}(\alpha T) - {}^{(t)}(\alpha T) \right) \delta_{ij} + \Delta \varepsilon_{ij}^p + \\
&+ \sum_{l=1}^3 \sum_{k=1}^3 {}^{(t+\Delta t)}(A_{ijkl} \sigma_{kl}) - \sum_{l=1}^3 \sum_{k=1}^3 {}^{(t)}(A_{ijkl} \sigma_{kl}), \\
\Delta \varepsilon_{ij} &= \left[ (\alpha \Delta T + T \Delta \alpha + \Delta \alpha \Delta T) \delta_{ij} \right] + \Delta \varepsilon_{ij}^p + \\
&+ \left[ \sum_{l=1}^3 \sum_{k=1}^3 \Delta A_{ijkl} {}^{(t)}\sigma_{kl} \right] + \sum_{l=1}^3 \sum_{k=1}^3 {}^{(t+\Delta t)}A_{ijkl} \Delta \sigma_{kl}.
\end{aligned} \tag{1.7}$$

Тогда соотношения (1.6) можно записать в приращениях:

$$\Delta \varepsilon_{ij} = \Delta \varepsilon_{ij}^e + \Delta \varepsilon_{ij}^p + \Delta \varepsilon_{ij}^{\text{th}}, \tag{1.8}$$

где  $\Delta \varepsilon_{ij}^{\text{th}}$  – компоненты приращения тензора температурных деформаций

$$\Delta \varepsilon_{ij}^{\text{th}} = \left( {}^{(t)}\alpha \Delta T + {}^{(t)}T \Delta \alpha + \Delta \alpha \Delta T \right) \delta_{ij} + \sum_{l=1}^3 \sum_{k=1}^3 \Delta A_{ijkl} {}^{(t)}\sigma_{kl}. \tag{1.9}$$

Учитывая симметрию тензоров  $\varepsilon_{ij}$  и  $\sigma_{ij}$ , обозначим деформации и напряжения в векторном виде:

$$\boldsymbol{\varepsilon} = \{\varepsilon_{11}, \varepsilon_{22}, \varepsilon_{33}, 2\varepsilon_{23}, 2\varepsilon_{31}, 2\varepsilon_{12}\}^T, \boldsymbol{\sigma} = \{\sigma_{11}, \sigma_{22}, \sigma_{33}, \sigma_{23}, \sigma_{31}, \sigma_{12}\}^T, \tag{1.10}$$

тогда обобщенный закон Гука (1.1) и соотношения (1.6), (1.8) примут вид

$$\boldsymbol{\sigma} = \mathbf{D} \boldsymbol{\varepsilon}^e, \tag{1.11}$$

$$\Delta \boldsymbol{\sigma} = \mathbf{D} \Delta \boldsymbol{\varepsilon}^e, \tag{1.12}$$

$$\boldsymbol{\varepsilon} = \boldsymbol{\varepsilon}^e + \boldsymbol{\varepsilon}^p + \alpha T \{1, 1, 1, 0, 0, 0\}^T, \tag{1.13}$$

$$\Delta \boldsymbol{\varepsilon} = \Delta \boldsymbol{\varepsilon}^e + \Delta \boldsymbol{\varepsilon}^p + \Delta \boldsymbol{\varepsilon}^{\text{th}}, \tag{1.14}$$

где матрица  $\mathbf{D}$  (соответствующая тензору  $C_{ijkl}$ ) определяется через компоненты тензора  $C_{ijkl}$ :

$$\mathbf{D} = \begin{pmatrix} C_{1111} & C_{1122} & C_{1133} & C_{1123} & C_{1113} & C_{1112} \\ & C_{2222} & C_{2233} & C_{2223} & C_{2213} & C_{2212} \\ & & C_{3333} & C_{3323} & C_{3313} & C_{3312} \\ & & & C_{2323} & C_{2313} & C_{2312} \\ & sym & & & C_{1313} & C_{1312} \\ & & & & & C_{1212} \end{pmatrix}, \quad (1.15)$$

$$\mathbf{D} = \begin{pmatrix} 2\mu + \lambda & \lambda & \lambda & 0 & 0 & 0 \\ \lambda & 2\mu + \lambda & \lambda & 0 & 0 & 0 \\ \lambda & \lambda & 2\mu + \lambda & 0 & 0 & 0 \\ 0 & 0 & 0 & \mu & 0 & 0 \\ 0 & 0 & 0 & 0 & \mu & 0 \\ 0 & 0 & 0 & 0 & 0 & \mu \end{pmatrix}, \quad (1.16)$$

Для изотропного пластичного материала будем считать, что выполняется критерий текучести Мизеса, т.е. задана кривая пластичности  $\tilde{\sigma} = \Phi(\tilde{\varepsilon}^{e+p}, T, t, \dots)$ , связывающая интенсивности напряжений  $\tilde{\sigma}$  и интенсивность упругопластических деформаций  $\tilde{\varepsilon}^{e+p}$ ,

$$\boldsymbol{\varepsilon}^{e+p} = \boldsymbol{\varepsilon}^e + \boldsymbol{\varepsilon}^p, \quad (1.17)$$

которые определяются соотношениями

$$\tilde{\sigma} = \sqrt{c_{\tilde{\sigma}} \boldsymbol{\sigma}^T \mathbf{M} \boldsymbol{\sigma}}, \quad \tilde{\varepsilon}^{e+p} = \sqrt{c_{\tilde{\varepsilon}} (\mathbf{R} \boldsymbol{\varepsilon}^{e+p})^T \mathbf{M} (\mathbf{R} \boldsymbol{\varepsilon}^{e+p})}, \quad (1.18)$$

$$\mathbf{M} = \begin{pmatrix} 1 & -0.5 & -0.5 & 0 & 0 & 0 \\ -0.5 & 1 & -0.5 & 0 & 0 & 0 \\ -0.5 & -0.5 & 1 & 0 & 0 & 0 \\ 0 & 0 & 0 & 3 & 0 & 0 \\ 0 & 0 & 0 & 0 & 3 & 0 \\ 0 & 0 & 0 & 0 & 0 & 3 \end{pmatrix}, \quad \mathbf{R} = \begin{pmatrix} 1 & 0 & 0 & 0 & 0 & 0 \\ 0 & 1 & 0 & 0 & 0 & 0 \\ 0 & 0 & 1 & 0 & 0 & 0 \\ 0 & 0 & 0 & 0.5 & 0 & 0 \\ 0 & 0 & 0 & 0 & 0.5 & 0 \\ 0 & 0 & 0 & 0 & 0 & 0.5 \end{pmatrix}, \quad (1.19)$$

и выполняется закон пластического течения

$$d\boldsymbol{\varepsilon}^p = \frac{\mathbf{M}\boldsymbol{\sigma}}{\tilde{\sigma}} d\tilde{\varepsilon}^p, \quad (1.20)$$

т.е. пластические деформации пропорциональны девиатору напряжений

$$s_{ij} = \sigma_{ij} - \delta_{ij} \frac{1}{3}(\sigma_{11} + \sigma_{22} + \sigma_{33}), \quad (1.21)$$

т.к.

$$\mathbf{M}\boldsymbol{\sigma} = \frac{3}{2} \{s_{11}, s_{22}, s_{33}, 2s_{23}, 2s_{31}, 2s_{12}\}. \quad (1.22)$$

При активном нагружении пластичного материала происходит приращение пластических деформаций. Нейтральное нагружение или разгрузка происходят линейно-упруго, без приращения пластических деформаций.

## 2. Вычисление НДС

1. Представим приращения наблюдаемых деформаций в виде суммы

$$\Delta \boldsymbol{\varepsilon} = \Delta \boldsymbol{\varepsilon}^e + \Delta \boldsymbol{\varepsilon}^{th} + \left[ \Delta \boldsymbol{\varepsilon}^p - \Delta \boldsymbol{\varepsilon}^0 \right] + \Delta \boldsymbol{\varepsilon}^0, \quad (2.1)$$

$$\Delta \boldsymbol{\varepsilon} = \Delta \boldsymbol{\varepsilon}^e + \Delta \boldsymbol{\varepsilon}^{th} + \Delta \boldsymbol{\varepsilon}^{p-0} + \Delta \boldsymbol{\varepsilon}^0, \quad (2.2)$$

где  $\Delta \boldsymbol{\varepsilon}^e$  – упругие деформации,  $\Delta \boldsymbol{\varepsilon}^p$  и  $\Delta \boldsymbol{\varepsilon}^0$  – пластические и начальные деформации, пропорциональные (в тензорном виде, но не в векторном) девиатору напряжений  $s_{ij}$  (1.21) и введено обозначение

$$\Delta \boldsymbol{\varepsilon}^{p-0} \equiv \Delta \boldsymbol{\varepsilon}^p - \Delta \boldsymbol{\varepsilon}^0. \quad (2.3)$$

Тогда определяющие соотношения (1.12)

$$\Delta \boldsymbol{\sigma} = \mathbf{D} \Delta \boldsymbol{\varepsilon}^e \quad (2.4)$$

с учётом (2.2), можно записать в виде

$$\Delta \boldsymbol{\sigma} = \mathbf{D} \left( \Delta \boldsymbol{\varepsilon} - \Delta \boldsymbol{\varepsilon}^{th} - \Delta \boldsymbol{\varepsilon}^{p-0} - \Delta \boldsymbol{\varepsilon}^0 \right). \quad (2.5)$$

Здесь и далее  $\mathbf{D} \equiv {}^{(t+\Delta t)}\mathbf{D}$  и по умолчанию подразумевается временной слой  $(t + \Delta t)$ .

2. Обозначим

$$\Delta \boldsymbol{\varepsilon}^{e+p-0} \equiv \Delta \boldsymbol{\varepsilon}^e + \Delta \boldsymbol{\varepsilon}^{p-0}. \quad (2.6)$$

и возьмём такую матрицу определяющих соотношений  $\tilde{\mathbf{D}}$ , чтобы для заданного (на кривой  $\tilde{\sigma} = \Phi(\tilde{\varepsilon}^{e+p}, T, t, \dots)$ ) угла наклона  $\beta^* \in \left(-\frac{\pi}{2}, \frac{\pi}{2}\right)$  выполнялось

$$\tan(\beta^*) = \frac{\Delta \tilde{\sigma}}{\Delta \tilde{\varepsilon}^{e+p-0}}, \quad (2.7)$$

$$\mathbf{D} \Delta \boldsymbol{\varepsilon}^e = \tilde{\mathbf{D}}_{\beta^*} \Delta \boldsymbol{\varepsilon}^{e+p-0}, \quad (2.8)$$



то есть матрицу [3, стр. 259; 4]

$$\tilde{\mathbf{D}}_{\beta^*} = \mathbf{D}(\mathbf{I} - \tilde{\mathbf{Y}}_{\beta^*}), \quad (2.9)$$

где

$$\tilde{\mathbf{Y}}_{\beta^*} = \frac{\mathbf{Z}(\mathbf{Z}^T \mathbf{D})}{E^* + (\mathbf{Z}^T \mathbf{D}) \mathbf{Z}}, \quad \mathbf{Z} = \frac{\mathbf{M}^{(t)} \boldsymbol{\sigma}}{^{(t)} \tilde{\sigma}}, \quad (2.10)$$

Параметр  $E^*$  определяется выражением

$$E^* = \frac{1}{1 / \tan(\beta^*) - 1 / \tan(\beta^e)} = \frac{\tan(\beta^*) \tan(\beta^e)}{\tan(\beta^e) - \tan(\beta^*)}, \quad (2.11)$$

где

$$\tan(\beta^e) = 3G, \quad (2.12)$$

т.е. угол  $\beta^e$  соответствует модулю сдвига  $G$  упругой матрицы  $\mathbf{D}$ .

При  $\beta^* = \beta^e$  (упругость) или  $\Delta \tilde{\sigma} = 0$  (пассивное нагружение) принимается

$$\tilde{\mathbf{D}}_{\beta^*} = \mathbf{D}. \quad (2.13)$$

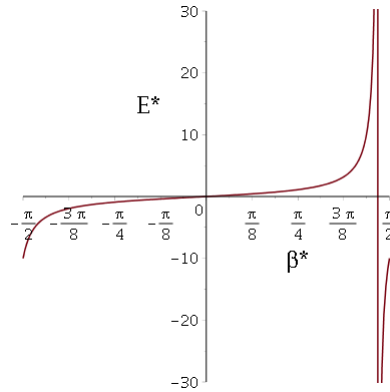


Рисунок 1. График функции  $E^*(\beta^*)$  при  $\tan(\beta^e) = 10$ .

Для матрицы  $\tilde{\mathbf{D}}_{\beta^*}$  выполняются соотношения

$$\Delta \boldsymbol{\epsilon}^e = (\mathbf{I} - \tilde{\mathbf{Y}}_{\beta^*}) \Delta \boldsymbol{\epsilon}^{e+p-0}, \quad (2.14)$$

$$\Delta \boldsymbol{\varepsilon}^{p-0} = \tilde{\mathbf{Y}}_{\beta^*} \Delta \boldsymbol{\varepsilon}^{e+p-0}, \quad (2.15)$$

$$\left( \mathbf{I} - \tilde{\mathbf{Y}}_{\beta^*} \right) \Delta \boldsymbol{\varepsilon}^{p-0} = \tilde{\mathbf{Y}}_{\beta^*} \Delta \boldsymbol{\varepsilon}^e \quad (2.16)$$

$$\Delta \boldsymbol{\varepsilon}^{p-0} = \frac{\mathbf{M}^{(t)} \boldsymbol{\sigma}}{_{(t)} \tilde{\sigma}} \Delta \tilde{\boldsymbol{\varepsilon}}^{p-0}, \quad (2.17)$$

$$\Delta \tilde{\boldsymbol{\varepsilon}}^{p-0} = \Delta \tilde{\sigma}^{e-0} / E^* = \left( 1 - \tan(\beta^*) / \tan(\beta^e) \right) \Delta \tilde{\boldsymbol{\varepsilon}}^{e+p-0} \quad (2.18)$$

3. Соотношения (2.4), с учётом (2.8) и (2.2), можно записать в виде

$$\Delta \boldsymbol{\sigma} = \tilde{\mathbf{D}}_{\beta^*} \Delta \boldsymbol{\varepsilon}^{e+p-0}, \quad (2.19)$$

$$\Delta \boldsymbol{\sigma} = \tilde{\mathbf{D}}_{\beta^*} \left( \Delta \boldsymbol{\varepsilon} - \Delta \boldsymbol{\varepsilon}^{th} - \Delta \boldsymbol{\varepsilon}^0 \right). \quad (2.20)$$

4. Пусть в уравнения (2.19) добавлены начальные напряжения  $\Delta \boldsymbol{\sigma}^0$

$$\Delta \boldsymbol{\sigma} = \tilde{\mathbf{D}}_{\beta^*} \Delta \boldsymbol{\varepsilon}^{e+p-0} + \Delta \boldsymbol{\sigma}^0 \quad (2.21)$$

и выполняется

$$\Delta \boldsymbol{\sigma}^0 = \left( \tilde{\mathbf{D}}_{\beta^{**}} - \tilde{\mathbf{D}}_{\beta^*} \right) \Delta \boldsymbol{\varepsilon}^{e+p-0}, \quad (2.22)$$

тогда получим

$$\Delta \boldsymbol{\sigma} = \tilde{\mathbf{D}}_{\beta^{**}} \Delta \boldsymbol{\varepsilon}^{e+p-0}, \quad (2.23)$$

где  $\beta^{**}$  – угол наклона, по которому можно определить компоненты упругих и пластических деформаций по формулам, аналогичным (2.14) и (2.15)

$$\Delta \boldsymbol{\varepsilon}^e = \left( \mathbf{I} - \tilde{\mathbf{Y}}_{\beta^{**}} \right) \Delta \boldsymbol{\varepsilon}^{e+p-0}, \quad (2.24)$$

$$\Delta \boldsymbol{\varepsilon}^p = \tilde{\mathbf{Y}}_{\beta^{**}} \Delta \boldsymbol{\varepsilon}^{e+p-0} + \Delta \boldsymbol{\varepsilon}^0, \quad (2.25)$$

как показано на рисунке 2. Начальные напряжения  $\Delta \boldsymbol{\sigma}^0$  находятся в результате итерационного процесса (2.44)–(2.46).

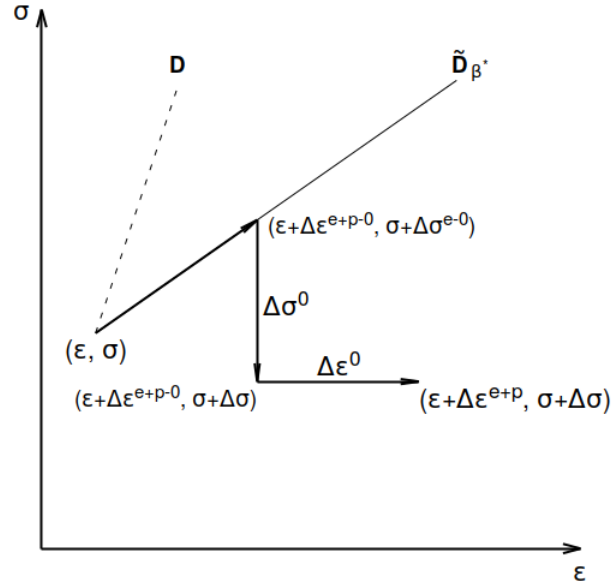


Рисунок 2. Компоненты деформаций.

5. Уравнениям (2.21)

$$\Delta \sigma = \tilde{\mathbf{D}}_{\beta^*} (\Delta \varepsilon - \Delta \varepsilon^{\text{th}} - \Delta \varepsilon^0) + \Delta \sigma^0 \quad (2.26)$$

соответствуют уравнения Галёркина [5]

$$\begin{aligned} \sum_{j=1}^3 \int_{(\iota)\Omega} \sum_{k=1}^3 \sum_{l=1}^3 \left( \tilde{C}_{ijkl} \frac{\partial(\Delta u_k)}{\partial x_l} \frac{\partial v}{\partial x_j} \right) d\Omega = \int_{(\iota)S_2} \Delta P_i v dS + \\ + \sum_{j=1}^3 \int_{(\iota)\Omega} \sum_{k=1}^3 \sum_{l=1}^3 \left( \tilde{C}_{ijkl} (\Delta \varepsilon_{kl}^{\text{th}} + \Delta \varepsilon_{kl}^0) \right) \frac{\partial v}{\partial x_j} d\Omega - \sum_{j=1}^3 \int_{(\iota)\Omega} \Delta \sigma_{ij}^0 \frac{\partial v}{\partial x_j} d\Omega, i = \overline{1,3} \end{aligned} \quad (2.27)$$

с параметрами  $\beta^*$ ,  $\Delta \varepsilon^0$  и  $\Delta \sigma^0$ , где компоненты приращений температурных деформаций  $\Delta \varepsilon_{kl}^{\text{th}}$  определяются соотношением (1.9). В результате решения (2.27) находятся приращения наблюдаемых деформаций

$$\Delta \varepsilon_{ij} = \frac{1}{2} \left( \frac{\partial(\Delta u_i)}{\partial x_j} + \frac{\partial(\Delta u_j)}{\partial x_i} \right), \quad (2.28)$$

приращения упругих деформаций (2.24), приращения пластичных деформаций (2.25) и приращения напряжений (2.21).

Для улучшения сходимости применяется один из способов коррекции погрешности [3, 6–9]. В правую часть уравнений (2.27) добавляется невязка  $R_i$ , рассчитанная на предыдущем шаге по времени [9]:

$$\begin{aligned} \sum_{j=1}^3 \int_{(t)\Omega} \sum_{k=1}^3 \sum_{l=1}^3 \left( \tilde{C}_{ijkl} \frac{\partial(\Delta u_k)}{\partial x_l} \frac{\partial v}{\partial x_j} \right) d\Omega = \int_{(t)S_2} \Delta P_i v dS + \\ + \sum_{j=1}^3 \int_{(t)\Omega} \sum_{k=1}^3 \sum_{l=1}^3 \left( \tilde{C}_{ijkl} (\Delta \varepsilon_{kl}^{\text{th}} + \Delta \varepsilon_{kl}^0) \right) \frac{\partial v}{\partial x_j} d\Omega - \sum_{j=1}^3 \int_{(t)\Omega} \Delta \sigma_{ij}^0 \frac{\partial v}{\partial x_j} d\Omega + R_i, i = \overline{1,3} \end{aligned} \quad (2.29)$$

где

$$R_i \equiv \gamma \left( \int_{(t-\Delta t)S_2} {}^{(t)}P_i v dS - \sum_{j=1}^3 \int_{(t-\Delta t)\Omega} {}^{(t)}\sigma_{ij} \frac{\partial v}{\partial x_j} d\Omega \right), \quad (2.30)$$

коэффициент  $\gamma$  подбирается экспериментально для каждого шага по времени.

(Ранее использовал безумство:

$$R_i \equiv \int_{(t)S_2} {}^{(t)}P_i v dS - \sum_{j=1}^3 \int_{(t)\Omega} {}^{(t)}\sigma_{ij} \frac{\partial v}{\partial x_j} d\Omega.) \quad (2.31)$$

Далее приведены различные варианты расчёта параметров  $\beta^*$ ,  $\Delta \varepsilon^0$ ,  $\Delta \sigma^0$  и невязок в соответствии с кривой деформирования.

## 1) Изменение матрицы ОС

$$\Delta \boldsymbol{\varepsilon}^0 = 0, \Delta \boldsymbol{\sigma}^0 = 0, \quad (2.32)$$

$$\begin{aligned} \Phi &= \sigma(\varepsilon, t), \\ \tan(\beta_0^*) &\leftarrow \frac{\partial \Phi}{\partial \varepsilon} \left( {}^{(t)}\tilde{\varepsilon}^{\text{e+p}}, t \right), \\ \tan(\beta_{k+1}^*) &\leftarrow \frac{\Phi \left( {}^{(t)}\tilde{\varepsilon}^{\text{e+p}} + \Delta \tilde{\varepsilon}_k^{\text{e+p}}, t + \Delta t \right) - {}^{(t)}\tilde{\sigma}}{\Delta \tilde{\varepsilon}_k^{\text{e+p}}}, \\ \Delta_k^\sigma &\leftarrow \frac{\Phi \left( {}^{(t)}\tilde{\varepsilon}^{\text{e+p}} + \Delta \tilde{\varepsilon}_k^{\text{e+p}}, t + \Delta t \right) - \left( {}^{(t)}\tilde{\sigma} + \Delta \tilde{\sigma}_k \right)}{\tilde{\sigma}}, \\ \Delta_k^\varepsilon &\leftarrow \frac{\Delta \tilde{\varepsilon}_k^{\text{e+p}} - \Delta \tilde{\varepsilon}_{k-1}^{\text{e+p}}}{\tilde{\varepsilon}}. \end{aligned} \quad (2.33)$$

ИЛИ

$$\begin{aligned} F &= \varepsilon(\sigma, t), \\ \tan(\beta_0^*) &\leftarrow 1 / \frac{\partial F}{\partial \sigma} \left( {}^{(t)}\tilde{\sigma}, t \right), \\ \tan(\beta_{k+1}^*) &\leftarrow \frac{\Delta \tilde{\sigma}_k}{F \left( {}^{(t)}\tilde{\sigma} + \Delta \tilde{\sigma}_k, t + \Delta t \right) - {}^{(t)}\tilde{\varepsilon}^{\text{e+p}}}, \\ \Delta_k^\varepsilon &\leftarrow \frac{F \left( {}^{(t)}\tilde{\sigma} + \Delta \tilde{\sigma}_k, t + \Delta t \right) - \left( {}^{(t)}\tilde{\varepsilon}^{\text{e+p}} + \Delta \tilde{\varepsilon}_{k-1}^{\text{e+p}} \right)}{\tilde{\varepsilon}}, \\ \Delta_k^\sigma &\leftarrow \frac{\Delta \tilde{\sigma}_k - \Delta \tilde{\sigma}_{k-1}}{\tilde{\sigma}}. \end{aligned} \quad (2.34)$$

## 2) Метод начальных деформаций

$$\Delta \sigma^0 = 0, \beta^* = \beta^e, \quad (2.35)$$

$$F = \varepsilon(\sigma, t), \quad (2.36)$$

$$\begin{aligned} \Delta \varepsilon_0^0 &\leftarrow 0, \\ \Delta \varepsilon_{k+1}^0 &\leftarrow \Delta \varepsilon_k^0 + \omega \left( F \left( {}^{(t)}\tilde{\sigma} + \Delta \tilde{\sigma}_k, t + \Delta t \right) - \left( {}^{(t)}\tilde{\varepsilon}^{e+p} + \Delta \tilde{\varepsilon}_k^{e+p} \right) \right) \cdot \frac{\mathbf{M}^{(t)} \boldsymbol{\sigma}}{{}^{(t)}\tilde{\sigma}}, \\ \Delta_k^\varepsilon &\leftarrow \frac{F \left( {}^{(t)}\tilde{\sigma} + \Delta \tilde{\sigma}_k, t + \Delta t \right) - \left( {}^{(t)}\tilde{\varepsilon}^{e+p} + \Delta \tilde{\varepsilon}_k^{e+p} \right)}{\tilde{\varepsilon}}, \\ \Delta_k^\sigma &\leftarrow \frac{\Delta \tilde{\sigma}_k - \Delta \tilde{\sigma}_{k-1}}{\tilde{\sigma}}. \end{aligned} \quad (2.37)$$

## 3) Метод начальных деформаций с изменением матрицы ОС

$$\Delta \sigma^0 = 0, \quad (2.38)$$

$$F = \varepsilon(\sigma, t), \quad (2.39)$$

$$\begin{aligned} \tan(\beta_0^*) &\leftarrow 1 / \frac{\partial F}{\partial \sigma} \left( {}^{(t)}\tilde{\sigma}, t \right), \\ \Delta \varepsilon_0^0 &\leftarrow 0, \\ \tan(\beta_{k+1}^*) &\leftarrow \tan(\beta_k^*) \\ \Delta \varepsilon_{k+1}^0 &\leftarrow \Delta \varepsilon_k^0 + \omega \left( F \left( {}^{(t)}\tilde{\sigma} + \Delta \tilde{\sigma}_k, t + \Delta t \right) - \left( {}^{(t)}\tilde{\varepsilon}^{e+p} + \Delta \tilde{\varepsilon}_k^{e+p} \right) \right) \cdot \frac{\mathbf{M}^{(t)} \boldsymbol{\sigma}}{{}^{(t)}\tilde{\sigma}}, \\ \Delta_k^\varepsilon &\leftarrow \frac{F \left( {}^{(t)}\tilde{\sigma} + \Delta \tilde{\sigma}_k, t + \Delta t \right) - \left( {}^{(t)}\tilde{\varepsilon}^{e+p} + \Delta \tilde{\varepsilon}_k^{e+p} \right)}{\tilde{\varepsilon}}, \\ \Delta_k^\sigma &\leftarrow \frac{\Delta \tilde{\sigma}_k - \Delta \tilde{\sigma}_{k-1}}{\tilde{\sigma}}. \end{aligned} \quad (2.40)$$

#### 4) Метод начальных напряжений [10 – 13, 3]

$$\Delta \mathbf{\varepsilon}^0 = 0, \beta^* = \beta^e, \quad (2.41)$$

$$\Phi = \sigma(\varepsilon, t), \quad (2.42)$$

$$\begin{aligned} \Delta \sigma_0^0 &\leftarrow 0, \\ \tan(\beta_{k+1}^{**}) &\leftarrow \left( \Phi \left( {}^{(t)}\tilde{\varepsilon}^{e+p} + \Delta \tilde{\varepsilon}_k^{e+p}, t + \Delta t \right) - \tilde{\sigma} \right) / \Delta \tilde{\varepsilon}_k^{e+p} \\ \Delta \sigma_{k+1}^0 &\leftarrow \left( \tilde{\mathbf{D}}_{\beta_{k+1}^{**}} - \tilde{\mathbf{D}}_{\beta^*} \right) \Delta \mathbf{\varepsilon}_k^{e+p}, \\ \Delta_k^\sigma &\leftarrow \frac{\Phi \left( {}^{(t)}\tilde{\varepsilon}^{e+p} + \Delta \tilde{\varepsilon}_k^{e+p}, t + \Delta t \right) - \left( {}^{(t)}\tilde{\sigma} + \Delta \tilde{\sigma} \right)}{\tilde{\sigma}}, \\ \Delta_k^\varepsilon &\leftarrow \frac{\Delta \tilde{\varepsilon}_k^{e+p} - \Delta \tilde{\varepsilon}_{k-1}^{e+p}}{\tilde{\varepsilon}}. \end{aligned} \quad (2.43)$$

Если процесс сойдётся, то получится соотношение (2.22).

#### 5) Метод начальных напряжений с изменением матрицы ОС

$$\Delta \mathbf{\varepsilon}^0 = 0, \quad (2.44)$$

$$\Phi = \sigma(\varepsilon, t) \quad (2.45)$$

$$\begin{aligned} \tan(\beta_0^*) &\leftarrow \frac{\partial \Phi}{\partial \varepsilon} \left( {}^{(t)}\tilde{\varepsilon}^{e+p}, t \right), \\ \Delta \sigma_0^0 &\leftarrow 0, \\ \tan(\beta_{k+1}^*) &\leftarrow \tan(\beta_k^*) \\ \tan(\beta_{k+1}^{**}) &\leftarrow \left( \Phi \left( {}^{(t)}\tilde{\varepsilon}_k^{e+p} + \Delta \tilde{\varepsilon}_k^{e+p}, t + \Delta t \right) - {}^{(t)}\tilde{\sigma} \right) / \Delta \tilde{\varepsilon}_k^{e+p} \\ \Delta \sigma_{k+1}^0 &\leftarrow \left( \tilde{\mathbf{D}}_{\beta_{k+1}^{**}} - \tilde{\mathbf{D}}_{\beta^*} \right) \Delta \mathbf{\varepsilon}_k^{e+p}, \\ \Delta_k^\sigma &\leftarrow \frac{\Phi \left( {}^{(t)}\tilde{\varepsilon}_k^{e+p} + \Delta \tilde{\varepsilon}_k^{e+p}, t + \Delta t \right) - \left( {}^{(t)}\tilde{\sigma} + \Delta \tilde{\sigma} \right)}{\tilde{\sigma}}, \\ \Delta_k^\varepsilon &\leftarrow \frac{\Delta \tilde{\varepsilon}_k^{e+p} - \Delta \tilde{\varepsilon}_{k-1}^{e+p}}{\tilde{\varepsilon}}. \end{aligned} \quad (2.46)$$

Если процесс сойдётся, то получится соотношение (2.22).

Если требуется обеспечить упругость разгрузки (в случае упругопластичности), то начальный участок кривой деформирования, при  $\varepsilon \leq \varepsilon^{\text{yeld}}$ , заменяется (с сохранением непрерывности) на прямую линию с углом наклона  $\tan(\beta^e) = 3G$ , где  $\varepsilon^{\text{yeld}}$  – максимальная достигнутая деформация.



### 3. Механический контакт с жёсткой поверхностью

Контактное взаимодействие с жёсткой поверхностью можно учесть методом штрафа [14, 15]

Для каждого узла, для которого возможен контакт с опорой, введём характеристики (далее по умолчанию подразумевается временной слой  $(t + \Delta t)$ ):

*Contact* = узел находится в состоянии контакта,

*Separation* = происходит «отлипание» на текущей итерации,

$\mathbf{r}$  – радиус-вектор узла,

$\mathbf{u} \equiv \mathbf{r} - {}^{(t)}\mathbf{r}$  – перемещение узла,

$\kappa$  – коэффициент контактной жёсткости,

$\mathbf{F}$  – действующая на узел сила реакции опоры,

$\mathbf{r}^*$  – радиус-вектор точки контакта,

$\mathbf{u}^* \equiv \mathbf{r}^* - {}^{(t)}\mathbf{r}$ ,

$\mathbf{n}$  – внешняя нормаль к поверхности опоры в точке  $\mathbf{r}^*$ .

Также обозначим функции, характеризующие поверхность опоры:

*nearestPoint*( $\mathbf{r}$ ) – ближайшая к точке  $\mathbf{r}$  точка поверхности опоры

*intersectionPoint*( $\mathbf{r}_1, \mathbf{r}_2$ ) – точка пересечения отрезка  $\mathbf{r}_1\mathbf{r}_2$  с поверхностью

*side*( $\mathbf{r}$ ) = -1, если точка  $\mathbf{r}$  находится с внутренней стороны поверхности или

*side*( $\mathbf{r}$ ) = +1, если точка  $\mathbf{r}$  находится с внешней стороны поверхности.

Алгоритм учёта контакта для некоторого узла.

1. Инициализируется начальное приближение для временного слоя  $t + \Delta t$ :

$$\begin{aligned} Contact_0 &= {}^{(t)}Contact, Separation_0 = {}^{(t)}Separation, \\ \mathbf{F}_0 &\leftarrow {}^{(t)}\mathbf{F}, \mathbf{r}_0^* \leftarrow {}^{(t)}\mathbf{r}^*, \mathbf{n}_0 \leftarrow {}^{(t)}\mathbf{n}, \kappa_0 \leftarrow {}^{(t)}\kappa \end{aligned} \quad (3.1)$$

2. Рассчитываются локальная узловная матрица  $\hat{\mathbf{G}}_k^{\text{contact}}$  и локальный узловый вектор  $\hat{\mathbf{b}}_k^{\text{contact}}$  (локальные для заданного узла, т.е. с размерами  $3 \times 3$  и 3 соответственно; диагональ локальной узловой матрицы принадлежит диагонали глобальной матрицы).

Если  $Contact_k = true$ , то

$$\begin{aligned} \left[ \hat{\mathbf{b}}_k^{\text{contact}} = \left( \mathbf{F}_k + \kappa_k \left( \mathbf{u}_k^* - \mathbf{u}_k \right) \right) \cdot \mathbf{n}_k \cdot \mathbf{n}_k - {}^{(t)}\mathbf{F} \right] \\ \hat{\mathbf{G}}_k^{\text{contact}} \leftarrow \kappa_k \mathbf{n}_k \mathbf{n}_k^T \\ \hat{\mathbf{b}}_k^{\text{contact}} \leftarrow \left( \mathbf{F}_k + \kappa_k \mathbf{u}_k^* \right) \cdot \mathbf{n}_k \cdot \mathbf{n}_k - {}^{(t)}\mathbf{F} \end{aligned} \quad (3.2)$$

Если  $Separation_k = true$ , то

$$\begin{aligned} \hat{\mathbf{G}}_k^{\text{contact}} &\leftarrow 0 \\ \hat{\mathbf{b}}_k^{\text{contact}} &\leftarrow 0 - {}^{(t)}\mathbf{F} \end{aligned} \quad (3.3)$$

3. Из решения СЛАУ получается перемещение  $\mathbf{u}_k$  и рассчитывается новое приближение силы реакции опоры.

Если  $Contact_k = true$ , то

$$\mathbf{F}_{k+1} \leftarrow \left( \mathbf{F}_k + \kappa_k \left( \mathbf{u}_k^* - \mathbf{u}_k \right) \right) \cdot \mathbf{n}_k \cdot \mathbf{n}_k \quad (3.4)$$

Если  $Separation_k = true$ , то

$$\mathbf{F}_{k+1} \leftarrow 0 \quad (3.5)$$

4. Обновляется состояние узла, находится новое приближение точки контакта:

**if**  $Contact_k = true$  **then**

**if**  $side\left({}^{(t)}\mathbf{r} + \mathbf{u}_k\right) = -1$  **then**

```

     $Contact_{k+1} \leftarrow true$ 
     $Separation_{k+1} \leftarrow false$ 
     $\mathbf{r}_{k+1}^* \leftarrow nearestPoint\left(^{(t)}\mathbf{r} + \mathbf{u}_k\right)$ 
if  $side\left(^{(t)}\mathbf{r} + \mathbf{u}_k\right) = +1$  then
    if  $\mathbf{F}_{k+1} \cdot \mathbf{n} < 0$  then
         $Contact_{k+1} \leftarrow false$ 
         $Separation_{k+1} \leftarrow ^{(t)}Contact$ 
    else
         $Contact_{k+1} \leftarrow true$ 
         $Separation_{k+1} \leftarrow false$ 
         $\mathbf{r}_{k+1}^* \leftarrow nearestPoint\left(^{(t)}\mathbf{r} + \mathbf{u}_k\right)$ 
else
    if  $^{(t)}Contact = true$  then
        if  $side\left(^{(t)}\mathbf{r} + \mathbf{u}_k\right) = -1$  then
             $Contact_{k+1} \leftarrow true$ 
             $Separation_{k+1} \leftarrow false$ 
             $\mathbf{r}_{k+1}^* \leftarrow nearestPoint\left(^{(t)}\mathbf{r}\right)$ 
        if  $side\left(^{(t)}\mathbf{r} + \mathbf{u}_k\right) = +1$  then
             $Contact_{k+1} \leftarrow false$ 
             $Separation_{k+1} \leftarrow true$ 
        else
            if  $\exists intersectionPoint\left(^{(t)}\mathbf{r}, ^{(t)}\mathbf{r} + \mathbf{u}_k\right)$  then
                 $Contact_{k+1} \leftarrow true$ 
                 $Separation_{k+1} \leftarrow false$ 
                 $\mathbf{r}_{k+1}^* \leftarrow intersectionPoint\left(^{(t)}\mathbf{r}, ^{(t)}\mathbf{r} + \mathbf{u}_k\right)$ 
            else
                 $Contact_{k+1} \leftarrow false$ 
                 $Separation_{k+1} \leftarrow false$ 

```

**?**  $\kappa_{k+1} \leftarrow \langle \text{некоторая стратегия} \rangle$

С учётом дополнительных узловых сил контакта, в схеме с коррекцией к глобальному вектору невязок  $\mathbf{R}$ , соответствующему (2.30), добавляются узловые локальные векторы

$$\hat{\mathbf{R}}^{contact} = {}^{(t)}\mathbf{F}, \quad (3.6)$$

которые рассчитываются в конце предыдущего шага.

## **Заключение**

Описаны численные схемы для решения контактных задач термомеханики.

## Список литературы

- 1) Филиппов А. С. Численные методы в механике деформируемого твердого тела //Москва. – 2016.
- 2) Биргер И. А., Шорр Б. Ф., Иосилевич Г. Б. Термопрочность деталей машин //М.: Машиностроение. – 1975. – Т. 455.
- 3) Колесников К. С., Александров Д. А., Асташев В. К. Машиностроение. Энциклопедия. Динамика и прочность машин. Теория механизмов и машин. Т. 1-3. Кн. 1 //М.: Машиностроение. – 1994. – Т. 1.
- 4) Отчет о ПНИ по теме: "Разработка программно-технических решений в области промышленного программного обеспечения для моделирования поведения элементов конструкций из современных материалов в экстремальных условиях при механических и немеханических воздействиях для решения задач проектирования авиакосмической техники" (№ гос. регистрации: 114112440083)
- 5) Соловейчик Ю. Г. Метод конечных элементов для решения скалярных и векторных задач : учеб. пособие / Ю. Г. Соловейчик, М. Э. Рояк, М. Г. Персова – Новосибирск: Изд-во НГТУ, 2007. – 896 с.
- 6) Темис Ю. М. Решение задач деформационной теории пластичности методом последовательных нагружений с коррекцией погрешности //Ученые записки ЦАГИ. – 1983. – Т. 14. – №. 5.
- 7) Постнов В. А., Хархурим И. Я. Метод конечных элементов в расчетах судовых конструкций. – Изд-во "Судостроение", 1974.
- 8) Лукашевич А. А. Современные численные методы строительной механики. – Изд-во ХГТУ, 2003.
- 9) Станкевич И. В. Численное решение контактных задач с учетом деформации ползучести //Вестник МГТУ им. НЭ Баумана. Сер. Естественные науки. – 2012. – №. 4. – С. 145-153.
- 10) Ильюшин А. А. Пластичность. Гостехиздат //Москва. – 1948.

- 11) Биргер И. А., Пановко Я. Г. Прочность //Устойчивость. Колебания. – 1968. – Т. 1.
- 12) Зенкевич О. Метод конечных элементов в технике. – М.: Мир, 1975. – 542 с
- 13) Писаренко Г. С., Мажаровский Н. С. Уравнения и краевые задачи теории пластичности и ползучести //Киев: Наукова думка. – 1981. – Т. 496. – С. 1.
- 14) Коробейников С. Н. Нелинейное деформирование твердых тел. – Новосибирск : Изд-во Сиб. отд-ния Рос. АН, 2000.
- 15) Wriggers P., Zavarise G. Computational contact mechanics //Encyclopedia of computational mechanics. – 2004.